

# **Trabajo de fin de grado**

## Funciones de distancia con signo

**Lukas Häring García**



**UNIVERSIDAD  
DE GRANADA**

# Índice General

## 1 Introducción

## 2 Lenguaje GLSL

- Vectores
- Matrices
- Operadores matemáticos

## 3 Spheremarcher

## 4 Modelo de iluminación

## 5 Funciones de distancia con signo (FDS)

- Primitivas sobre  $\mathbb{R}^2$
- Primitivas sobre  $\mathbb{R}^3$

## 6 Resolución de artefactos

## 7 Materiales

## 8 Conclusiones

Bibliografía

# Introducción

El rápido incremento en potencia de la unidad de procesamiento gráfico (*GPU*) ha permitido utilizar técnicas de renderizado propuestas en los años noventa. Presentaremos el lenguaje *GLSL* del que hace uso la tecnología web y que es utilizado durante todo el desarrollo del proyecto.

Presentaremos las *funciones de distancia con signo*, una serie de funciones del que hace uso la técnica de trazado *spheremarching* [Hart, 1996], presentada por John C. Hart en 1996 y del que centraremos nuestro trabajo.

Haremos uso del modelo empírico de *iluminación de Phong*, presentado por Thuong Phong en 1975, que es indispensable para dar realismo y sensación tridimensional a una escena, junto a los materiales.

# Lenguaje GLSL

# Tipos

Mantiene una sintaxis similar a C [John Kessenich, 2020], encontramos los siguientes tipos más importantes.

- **int**. Entero con signo.
- **float**. Número real, con precisión de 32 bits.
- **bool**. Ocupa un byte, *true* o *false*.
- **vecN**. Vector matemático,  $N$ -úpla de floats.  
Definidos: `vec2`, `vec3`, `vec4`.
- **matN**. Matriz cuadrada de dimension  $N$ .  
Encontramos: `mat2`, `mat3`, `mat4`.
- **matNxM**. Matriz de dimensiones  $N \times M$ .  
Encontramos: `mat2x2`, `mat2x3`, `mat2x4`, `mat3x2`, `mat3x3`, `mat3x4`, `mat4x2`, `mat4x3`, `mat4x4`.

# Vectores

El tipo vector, `vecN`, definido por una t-úpla:  $(x, y[, z[, w]])$  ó  $(r, g[, b[, a]])$ . Utilizaremos el operador «.» para acceder y copiar estas componentes.

## Constructores

- `vecN(float, ..., float)`
- `vecN(vecM, float)`
- `vecN(float, vecM)`
- `vecN(vecP, vecQ)`

## Funciones

- `length(vecN vector)`
- `distance(vecN p1, vecN p2)`
- `normalize(vecN vector)`
- `dot(vecN v1, vecN v2)`
- `cross(vecN v1, vecN v2)`

# Matrices

Las matrices  $matN \times M$  y  $matN$ , formadas por  $N \times M$  y  $N^2$  componentes flotantes, respectivamente. El operador de acceso a las componentes es similar al lenguaje C, del tal forma que:  $[j][i]$  accede a la celda de la fila  $j$ -ésima y columna  $i$ -ésima.

## Constructores

- $matN \times M(float, \dots, float)$
- $matN \times M(float, \dots, float)$
- $matN(vecN, \dots, vecN)$
- $matN \times M(vecM, \dots, vecM)$
- $matN(matM)$

## Funciones

- $transpose(mat\ matrix)$
- $matrix1 * matrix2$
- $determinant(matN\ matrix)$

# Operadores matemáticos

Agrupamos *float* y *vecN* con el nombre de *genType* para reunir los tipos de argumentos. Cuando utilizamos un operador sobre el tipo *vecN*, este se aplicará sobre cada una de sus componentes.

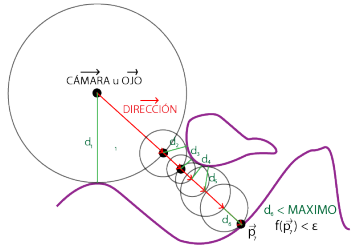
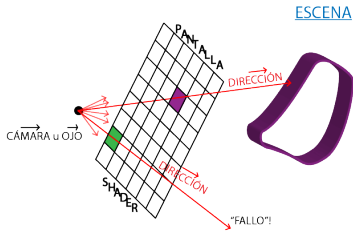
- `radians(genType var)`
- `sin(genType var)`
- `tan(genType var)`
- `asin(genType var)`
- `atan(genType var)`
- `pow(genType a, genType b)`
- `exp(genType var)`
- `sqrt(genType var)`
- `sqrt(genType var)`
- `abs(genType a)`
- `sign(genType a)`
- `min(genType a, genType b)`
- `max(genType a, genType b)`
- `mix(  
    genType a,  
    genType b,  
    (genType ó float ó bool) h  
)`



**Spheremarcher**

# Spheremarcher

Un *fragment shader* es aplicado, que es procesado por una *hebra* de la *GPU*. «Lanzaremos un rayo», de manera numérica, para cada píxel y se aproxima la intersección, de manera iterativa, desde el ojo en la dirección del píxel dirección.



## Spheremarcher 2

Como se ha comentado anteriormente, hacemos uso de las *funciones de distancia con signo* las cuales codifican la escena,  $f : \mathbb{R}^3 \rightarrow \mathbb{R}$ .

Definimos la posición del «rayo» en la iteración  $n$ -ésima, como:

$$\vec{rayo}_n = \vec{ojo} + \vec{dirección} \cdot d_n$$

donde  $d_n$  es la distancia total recorrida por todas las iteraciones:

$$d_n = d_{n-1} + f(\vec{p}_{n-1}) \text{ con } d_0 = 0$$

### Definition

Sea  $f : \mathbb{R}^2 \rightarrow \mathbb{R}$ , una función de distancia con signo, definimos como *isoperímetro*,  $L = \{\vec{p} | f(\vec{p}) = 0\}$ .

### Definition

Sea  $f : \mathbb{R}^3 \rightarrow \mathbb{R}$ , una función de distancia con signo, definimos como *isosuperficie*,  $S = \{\vec{p} | f(\vec{p}) = 0\}$ .

# Condiciones de parada

Al tratarse de un método numérico, vamos a definir las condiciones de parada:

- 1 Primera condición.** Utilizaremos una variable de control,  $\epsilon$  que relajará la restricción de la definición de *isosuperficie*, haciendo  $f(\vec{p}_n) < \epsilon$ , ya que, si  $\epsilon = 0$ , trataríamos de un modelo analítico.
- 2 Segunda condición.** Superar una cierta distancia recorrida,  $d_n \geq MAXIMO$ , creando una esfera de trazado sobre el punto de la cámara.
- 3 Tercera condición.** Superar el número de iteraciones máximas,  $n \geq PASOS$ . *PASOS* es una constante fijada.

Este algoritmo devolverá  $d_n$ , cuando el algoritmo finaliza debido a la **segunda o tercera condición**, devolverá,  $d_n = MAXIMO$ , recibiendo el nombre de «*fallo*». Un fallo, representando un pixel vacío, sin superficie trazada, pudiéndose considerar el fondo de la escena.

# Modelo de iluminación

# Normal de una isosuperficie

Para un modelo de iluminación es indispensable el cálculo de la normal de una isosuperficie, por ello, vamos a presentar el siguiente teorema:

## Theorem

*El vector gradiente  $\nabla f(x_0, y_0, z_0)$  es perpendicular a la curva de la tangente de una isosuperficie en el punto  $\vec{p} = (x_0, y_0, z_0)$ .*

En realidad, nos quiere decir que la normal de una *isosuperficie* es proporcional a su gradiente o exacta en caso de su posterior normalización:

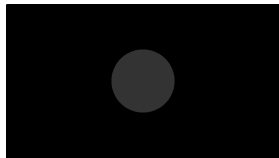
$$\vec{n} = \text{norm}(\nabla f(x, y, z)) \approx \text{norm} \left( \left\langle \begin{array}{c} \frac{f(x + 0.001, y, z) - f(x, y, z)}{0.001} \\ \frac{f(x, y + 0.001, z) - f(x, y, z)}{0.001} \\ \frac{f(x, y, z + 0.001) - f(x, y, z)}{0.001} \end{array} \right\rangle \right)$$

# Intensidad lumínica

Para cada luz  $\vec{l}_i \in L$ , definimos el vector director de la luz hasta el punto  $\vec{p}$  como  $\vec{d}_i = \text{norm}(\vec{l}_i - \vec{p})$ , la intensidad es un factor multiplicativo.

## Intensidad ambiental

Intensidad mínima sobre la isosuperficie.



$$I_a \in [0, 1]$$

## Intensidad difusa

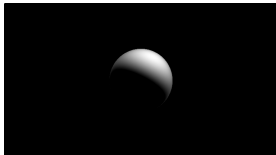
Intensidad por la luz refractada por la superficie.



$$I_d = \sum_{\vec{l}_i \in L} \vec{n} \cdot \vec{d}_i$$

## Intensidad especular

Intensidad por la incidencia en el ojo de la luz reflectada.

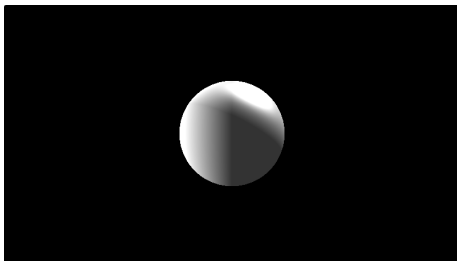


$$I_e = \sum_{\vec{l}_i \in L} \vec{o} \cdot \vec{d}_i \cdot (\vec{d}_i \cdot \vec{n})$$

# Modelo de Iluminación de Phong

Presentado por Thuong Phong en 1975 como un modelo empírico[Phong, 1975], resultado de las sumas de las intensidades anteriores, además, utiliza un *homeomorfismo* como factor de brillo para la intensidad especular:

$$h_k : [0, 1] \longrightarrow [0, 1], h_k(x) = x^{2^k}$$
$$I_{Phong} = I_a + \underbrace{\sum_{\vec{l}_i \in L} \vec{n} \cdot_{[0,1]} (\vec{l}_i - \vec{p})}_{\text{Intensidad Difusa}} + \underbrace{h_k \left( \vec{o} \vec{j} \vec{o} \cdot_{[0,1]} \left( (\vec{l}_i - \vec{p}) \vee \vec{n} \right) \right)}_{\text{Intensidad Especular}}$$



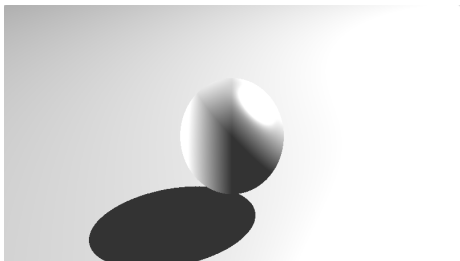


# Umbral

Dado un punto  $\vec{p}$  sobre la superficie, lanzaremos otro rayo hacia la luz para ver si este es ocluido, en caso de trazar otro punto  $\vec{q}$  en esa dirección, la intensidad se mantendrá constante.

Al lanzar el rayo desde la una isosuperficie, las primeras iteraciones resultan de bolas pequeñas, por ello, separaremos el punto  $\vec{p}$  de la superficie haciendo uso de la normal de la superficie y un factor de empuje  $k \in \mathbb{R}_0^+$ .

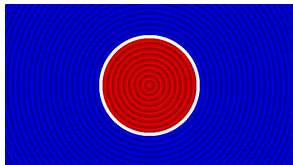
$$\vec{p}' = \vec{p} + \vec{n} \cdot k$$



# Funciones de distancia con signo (FDS)

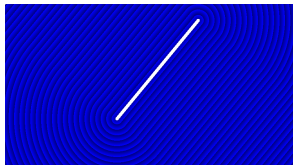
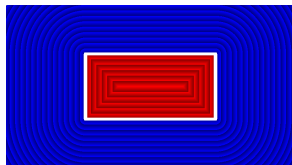
# Primitivas sobre $\mathbb{R}^2$

Funciones de distancia con signo de [Quilez, 2018] y [Quilez, 2011],



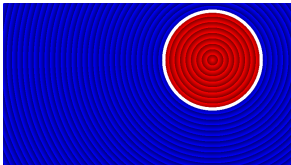
```
float SDFCircunsferencia(vec2 p, float r){  
    return length(p) - r;  
}
```

```
float SDFRectangulo(vec2 p, vec2 s){  
    vec2 a = abs(p) - s;  
    float extr = length(max(a, 0.0));  
    float intr = min(max(a.x, a.y), 0.0);  
    return extr + intr;  
}
```



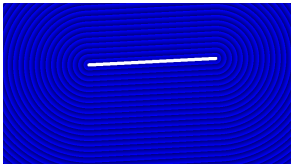
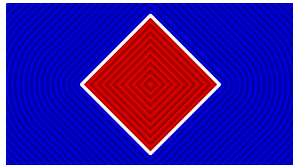
```
vec2 proy01(in vec2 a, in vec2 b){  
    return b * clamp(dot(b, a) / dot(b, b), 0., 1.);  
}  
float SDFSegmento(vec2 p, vec2 a, vec2 b){  
    vec2 v = p - a;  
    vec2 w = b - a;  
    return length(v - proy01(v, w));  
}
```

# Operadores sobre $\mathbb{R}^2$



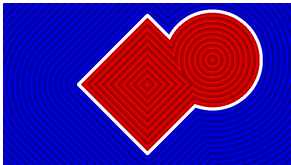
```
float escena_sdf(vec2 p){  
    vec2 pt = p - vec2(0.1, 0.2);  
    return SDFCircunsferencia(pt, 0.3);  
}
```

```
#define PI 3.1415  
mat2 rot(float a){  
    return mat2(+cos(a), -sin(a), +sin(a), +cos(a));  
}  
float escena_sdf(vec2 p){  
    vec2 pr = p * rot(45. * PI / 180.);  
    return SDFRectangulo(pr, vec2(0.3));  
}
```



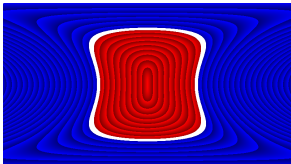
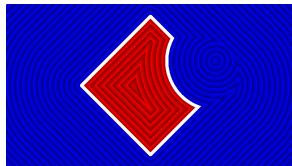
```
vec2 simetria(vec2 p, vec2 a, vec2 b){  
    return a + simetria(b - a, p - a);  
}  
float escena_sdf(vec2 p){  
    vec2 a = vec2(0.2, 0.2), b = vec2(0.0, 0.1);  
    vec2 ps = simetria(p, a, b);  
    return SDFSegmento(ps, vec2(-0.2, -0.2), vec2(0.3, 0.4));  
}
```

# Operadores sobre $\mathbb{R}^2$



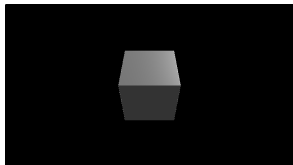
```
float escena_sdf(vec2 p){  
    vec2 pr = p * rot(PI / 180. * 45.0);  
    vec2 pt = p - vec2(0.4, 0.15);  
    return min(  
        SDFRectangulo(pr, vec2(0.3)), // f  
        SDFCircunsferencia(pt, 0.3)   // g  
    );  
}
```

```
float escena_sdf(vec2 p){  
    vec2 pr = p * rot(PI / 180. * 45.0);  
    vec2 pt = p - vec2(0.4, 0.15);  
    return max(  
        SDFRectangulo(pr, vec2(0.3)),  
        -SDFCircunsferencia(pt, 0.3)  
    );  
}
```



```
float sdf(vec2 p){  
    vec2 pn = vec2(  
        p.x * cos(p.y * PI),  
        p.y * sin(p.y * PI)  
    );  
    return SDFCircunferencia(pn, 0.1);  
}
```

# Primitivas sobre $\mathbb{R}^3$



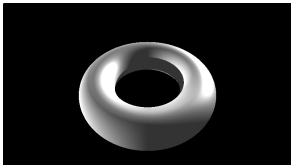
```
float SDFPrisma(vec3 p, vec3 s){  
    vec3 pa = abs(p) - s;  
    return length(max(pa, 0.)) +  
        min(max(max(pa.x, pa.y), pa.z), 0.);  
}
```

```
float SDFPlano(vec3 p, vec3 n){  
    return dot(p, n);  
}
```



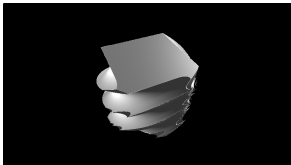
```
float SDFSegmento(vec3 p, vec3 a, vec3 b){  
    vec3 v = p - a;  
    vec3 w = b - a;  
    return length(v - proy01(v, w));  
}  
float SDFCapsula(vec3 p, vec3 a, vec3 b, float k){  
    return SDFSegmento(p, a, b) - k;  
}
```

# Operadores sobre $\mathbb{R}^3$



```
float SDFToro(vec3 p, float rx, float r){  
    vec2 rev = vec2(length(p.xz), p.y);  
    vec2 pt = rev - vec2(rx, 0.);  
    return SDFCircunferencia(pt, r);  
}
```

```
float SDFCilindro(vec3 p, float r){  
    vec3 n = normalize(vec3(1, 0, 0));  
    vec2 proy = proyPlano(p, n).yz;  
    return SDFCircunferencia(proy, r);  
}
```



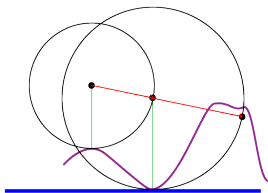
```
float escena_sdf(vec3 p){  
    vec2 ry = p.yz * rot(PI / 4.0);  
    p = vec3(p.x, ry.x, ry.y);  
    float a = p.y * 10.0;  
    p = vec3(  
        +p.x * cos(a) + p.z * sin(a),  
        +p.y,  
        -p.x * sin(a) + p.z * cos(a)  
    );  
    p.xz * rot(a)  
    return SDFPrisma(p, vec3(0.2));  
}
```

# Resolución de artefactos

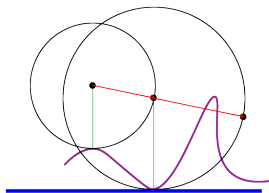


# Sobreestimación

Cuando tratamos *funciones de distancia con signo no exactas*, utilizaremos el término «sobreestimar» cuando se supera la distancia mínima real a la superficie a lo que llamaremos «artefacto». El rayo trazado se encuentra dentro de la superficie o el rayo atraviese una superficie.



1) Estimación dentro de la superficie.



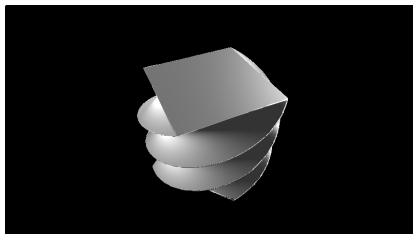
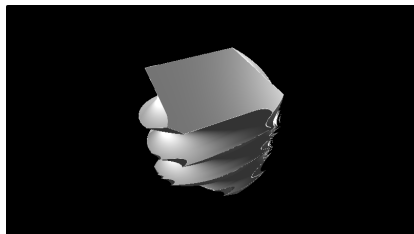
2) Estimación fuera de la superficie.

# Solución para la sobreestimación

Vamos a modificar la condición de parada impuesta que definía «estar sobre la isosuperficie». Ahora, diremos que estamos sobre una superficie, si y solo si,  $|f(\text{rayo}_n)| < \epsilon$ , así, si nos encontramos dentro, deberá salir del objeto, gracias al signo de la distancia.

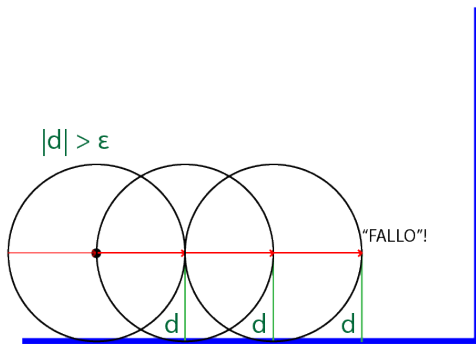
- 1 Incrementar el número de iteraciones para nuestro algoritmo.
- 2 Escalar  $k \in [0, 1]$  el radio de la bola, es decir, la distancia más corta a la superficie.

$$d'_n = d_{n-1} + f(\vec{p}_{n-1}) \cdot k \leq d_n$$



# Subestimación

Este tipo de estimación puede ocurrir tanto en *funciones de distancia con signo exactas como inexactas*. Cuando el *Marcher* finaliza consumiendo todas las iteraciones disponibles, es decir, en la **Tercera condición**. Suele ocurrir cuando el rayo pasa de manera paralela, muy cerca a una superficie con  $f(\text{rayo}_n) \geq \epsilon$ . La solución trivial es incrementar el número de iteraciones.



# Materials

# Materiales

Identificaremos cada elemento asignando un entero positivo  $id \in \mathbb{N}$  que será devuelto junto con la distancia a este objeto, es decir, vamos a devolver un `vec2` cuya componente «x» será la distancia y cuya componente «y», el identificador  $id$ . Asignaremos la constante  $id = 0$  cuando no se ha trazado ningún objeto. Esto hace que  $f$ , nuestra escena, esté definida como,

$$f : \mathbb{R}^3 \longrightarrow \mathbb{R} \times \mathbb{N}$$

El pixel resultado, será:

$$\text{color}_{rgb}(id) = \text{obtenerMaterial}(id) \cdot I_{Phong}$$

También podemos utilizar el punto  $\vec{p}$  y el identificador  $id$  para calcular la proyección hacia el sistema de coordenadas de alguna textura y tener así una escena más rica.

# Materiales

Utilizando la ecuación de la proyección cilíndrica:

$$(u \quad v) = 0.5 \cdot \left( \frac{\arctan\left(\frac{\vec{p}_x}{\vec{p}_z}\right)}{\pi} + 1 \quad \vec{p}_y + 1 \right)$$

Se ha creado la siguiente imagen:



<https://www.shadertoy.com/view/wsGGWG>

# Conclusiones

# Conclusiones

- Se trata de una técnica novedosa y con un amplio campo de estudio, que requiere de un elevado conocimiento matemático.
- El modelo de iluminación es esencial para la creación de escenas tridimensionales.
- Utilizar funciones de distancia con signo exactas, que ayudan a la convergencia del algoritmo.
- La sub/sobreestimación, requiere de un mayor ejercicio computacional.
- Los materiales dan una riqueza visual al ejercicio, en caso de texturización, utilizaremos proyecciones sobre las coordenadas  $(u, v)$ .



# References I

[Hart, 1996] Hart, J. C. (1996).

Sphere tracing: A geometric method for the antialiased ray tracing of implicit surfaces.

*The Visual Computer*, 12(10):527–545.

[John Kessenich, 2020] John Kessenich, Dave Baldwin, R. R. (2020 (accessed September 02, 2020)).

*The OpenGL<sup>©</sup> Shading Language*.

<https://www.khronos.org/registry/OpenGL/specs/gl/GLSLangSpec.4.40.pdf>.

[Phong, 1975] Phong, B. T. (1975).

Illumination for computer generated pictures.

*Communications of the ACM*, 18(6):311–317.

# References II

[Quilez, 2011] Quilez, I. (2011).

distance functions.

[https:](https://www.iquilezles.org/www/articles/distfunctions/distfunctions.htm)

[//www.iquilezles.org/www/articles/distfunctions/distfunctions.htm](https://www.iquilezles.org/www/articles/distfunctions/distfunctions.htm).

[Quilez, 2018] Quilez, I. (2018).

2d distance functions.

[https://www.iquilezles.org/www/articles/distfunctions2d/  
distfunctions2d.htm](https://www.iquilezles.org/www/articles/distfunctions2d/distfunctions2d.htm).

La plantilla utilizada: <https://github.com/martinhelso/UiB>